

リング・ビームで補強された鋼管井筒基礎の応力解析について

北海道大学 正員 能町純雄
苫小牧高専 正員 ○澤田知之

1. まえがき

本稿は、钢管を円形に建て込んだ井筒基礎を、内側に数本のリング・ビームで補強した構造を取り上げ、応力解析を行なったものである。仮定条件として軸方向のヒンジは钢管の直徑の両端に付いているものとし、各々構造物の接線方向、半径方向の力を受け持つとする。よって基本微分差分方程式は、ジョイント係数、 K_T 、 K_N を考慮して、接合点での接線方向、半径方向の力の均り合い及び振りの均り合い式より求められる。これらを钢管部の軸方向に有限フーリエ変換、それと直交平面上でフーリエ定和分変換を行なって解析を進める境界条件を満足するように、境界値を定めて必要とする変位と断面力を得る。

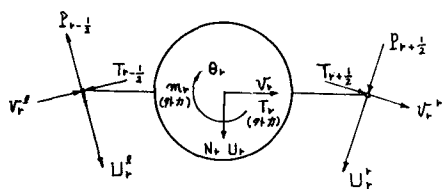
2. 基本式の説明

図-1

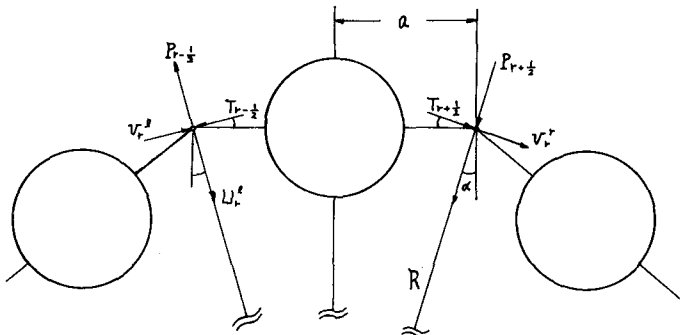


図-2

図-1, 2より 変位の関係は

$$U_r^l(x) = \{ U_r(x) + \theta_r(x) \cdot a \} \cos \alpha - V_r(x) \cdot \sin \alpha \quad (1)$$

$$U_r^t(x) = \{ U_r(x) - \theta_r(x) \cdot a \} \cos \alpha + V_r(x) \cdot \sin \alpha \quad (2)$$

$$V_r^l(x) = \{ U_r(x) + \theta_r(x) \cdot a \} \sin \alpha + V_r(x) \cdot \cos \alpha \quad (3)$$

$$V_r^t(x) = \{ U_r(x) - \theta_r(x) \cdot a \} \sin \alpha + V_r(x) \cdot \cos \alpha \quad (4)$$

節点力と節点変位の関係は

$$P_{r+\frac{1}{2}} = K_N \{ U_{r+1}^l(x) - U_r^l(x) \} \quad (a) \quad T_{r+\frac{1}{2}} = K_T \{ V_{r+1}^l(x) - V_r^l(x) \} \quad (b)$$

K_N , K_T は各々半径方向、接線方向の joint 係数

(1)～(4) & (a) (b) より

$$P_{r+\frac{1}{2}} = K_N [\{ \Delta U_r(x) - \nabla \theta_r(x) \cdot a \} \cos \alpha + \nabla V_r(x) \cdot \sin \alpha] \quad (5)$$

$$T_{r+\frac{1}{2}} = K_T [\{ -\nabla U_r(x) + \Delta \theta_r(x) \cdot a \} \sin \alpha + \Delta V_r(x) \cdot \cos \alpha] \quad (6)$$

$$\therefore \Delta F_r(x) = F_{r+1}(x) - F_r(x) \quad \nabla F_r(x) = T_{r+1}(x) + T_r(x)$$

Pile 要素の中央座標でとる 力の均り合い式

○半径方向曲げ"

$$N_r + \Delta P_{r-\frac{1}{2}} \cdot \cos\alpha + \nabla T_{r-\frac{1}{2}} \cdot \sin\alpha = EI \cdot \ddot{U}_r(x) + K \dot{U}_r(x) \quad (7)$$

○接線方向曲げ"

$$T_r - \nabla P_{r-\frac{1}{2}} \sin\alpha + \Delta T_{r-\frac{1}{2}} \cos\alpha = EI \cdot \ddot{V}_r(x) + K \dot{V}_r(x) \quad (8)$$

○振り

$$M_r + \nabla P_{r-\frac{1}{2}} a \cdot \cos\alpha + \Delta T_{r-\frac{1}{2}} a \cdot \sin\alpha = GJ \ddot{\theta}_r(x) \quad (9)$$

$\approx \infty$

$$K = D \cdot k$$

$$\dot{U}_r(x) = \frac{\partial^4 U_r(x)}{\partial x^4}$$

EI : 曲げ剛度

$$k: 地盤反力係数 (kg/cm^3)$$

$$\ddot{U}_r(x) = \frac{\partial^4 U_r(x)}{\partial x^4}$$

GJ : 振り剛度

$$D: 鋼管の直径$$

$$\ddot{\theta}_r(x) = \frac{\partial^2 \theta_r(x)}{\partial x^2}$$

$$N_r, T_r, M_r: 外力$$

(5) (6) の関係から

$$\nabla P_{r-\frac{1}{2}} = K_N [\Delta U_{r-\frac{1}{2}} \cdot \cos\alpha - a \{ \Delta^2 \theta_{r-\frac{1}{2}} + 4 \theta_r(x) \} \cos\alpha + \{ \Delta^2 V_{r-\frac{1}{2}}(x) + 4 V_r(x) \} \sin\alpha] \quad (10)$$

$$\Delta P_{r-\frac{1}{2}} = K_N [\Delta^2 U_{r-\frac{1}{2}} \cdot \cos\alpha - a \Delta \theta_{r-\frac{1}{2}} \cos\alpha + \Delta V_{r-\frac{1}{2}}(x) \sin\alpha] \quad (11)$$

$$\Delta T_{r-\frac{1}{2}} = K_T [\Delta V_{r-\frac{1}{2}}(x) \cdot \cos\alpha + a \Delta \theta_{r-\frac{1}{2}} \sin\alpha - \{ \Delta^2 U_{r-\frac{1}{2}}(x) + 4 U_r(x) \} \sin\alpha] \quad (12)$$

$$\Delta T_{r-\frac{1}{2}} = K_T [\Delta^2 V_{r-\frac{1}{2}}(x) \cdot \cos\alpha + a \Delta^2 \theta_{r-\frac{1}{2}} \sin\alpha - \Delta U_{r-\frac{1}{2}}(x) \sin\alpha] \quad (13)$$

$$\approx \infty \quad \Delta^2 F_{r-\frac{1}{2}}(x) = F_{r-\frac{1}{2}}(x) - 2 F_r(x) + F_{r+\frac{1}{2}}(x), \quad \Delta F_{r-\frac{1}{2}}(x) = F_{r-\frac{1}{2}}(x) - F_{r+\frac{1}{2}}(x)$$

故に (10) ~ (13) を (7) (8) (9) に代入すると

$$EI \cdot \ddot{U}_r(x) + K \dot{U}_r(x) = N_r + K_N \{ \Delta^2 U_{r-\frac{1}{2}}(x) \cos\alpha - a \Delta \theta_{r-\frac{1}{2}}(x) \cos\alpha + \Delta V_{r-\frac{1}{2}}(x) \sin\alpha \} \cos\alpha + K_T [\Delta^2 V_{r-\frac{1}{2}}(x) \cos\alpha + a \Delta \theta_{r-\frac{1}{2}}(x) \sin\alpha - \{ \Delta^2 U_{r-\frac{1}{2}}(x) + 4 U_r(x) \} \sin\alpha] \sin\alpha \quad (14)$$

$$EI \cdot \ddot{V}_r(x) + K \dot{V}_r(x) = T_r - K_N [\Delta U_{r-\frac{1}{2}}(x) \cos\alpha - a \{ \Delta^2 \theta_{r-\frac{1}{2}}(x) + 4 \theta_r(x) \} \cos\alpha + \{ \Delta^2 V_{r-\frac{1}{2}}(x) + 4 V_r(x) \} \sin\alpha] \sin\alpha + K_T \{ \Delta^2 V_{r-\frac{1}{2}}(x) \cos\alpha + a \Delta^2 \theta_{r-\frac{1}{2}}(x) \sin\alpha - \Delta U_{r-\frac{1}{2}}(x) \sin\alpha \} \cos\alpha \quad (15)$$

$$GJ \cdot \ddot{\theta}_r(x) = M_r + K_N [\Delta U_{r-\frac{1}{2}}(x) \cos\alpha - a \{ \Delta^2 \theta_{r-\frac{1}{2}}(x) + 4 \theta_r(x) \} \cos\alpha + \{ \Delta^2 V_{r-\frac{1}{2}}(x) + 4 V_r(x) \} \sin\alpha] \cos\alpha + K_T \{ \Delta^2 V_{r-\frac{1}{2}}(x) \cos\alpha + a \Delta^2 \theta_{r-\frac{1}{2}}(x) \sin\alpha - \Delta U_{r-\frac{1}{2}}(x) \sin\alpha \} \cos\alpha \quad (16)$$

以上 (14) (15) (16) 式の基本微分差分方程式を解くことになる。

3. 一般式

3-1. joint 係数 $k_N, k_T \rightarrow \infty$ とする場合 (軸端での右と左の変位が等しいとする場合)

$$\Delta U_{r-1}(x) \cdot \text{cosd} - \nabla \theta_{r-1}(x) \cdot a \text{cosd} + \nabla V_{r-1}(x) \text{sind} = 0 \quad (17)$$

$$-\nabla U_{r-1}(x) \cdot \text{sind} + \Delta \theta_{r-1}(x) \cdot a \text{sind} + \Delta V_{r-1}(x) \text{cosd} = 0 \quad (18)$$

よって (17) は Half-Sine 定和分変換を施すと

$$-2 \sin \frac{i\pi}{2n} R_i[U_{r-1}(x)] \text{cosd} - \left[\sin \frac{i\pi}{2n} \{ \theta_0(x) - (-1)^i \theta_n(x) \} + 2 \cos \frac{i\pi}{2n} S_i[\theta_r(x)] \right] a \text{cosd} \\ + \left[\sin \frac{i\pi}{2n} \{ V_0(x) - (-1)^i V_n(x) \} + 2 \cos \frac{i\pi}{2n} S_i[V_{r-1}(x)] \right] \text{sind} = 0 \quad (19)$$

(18) は Half-Cosine 定和分変換を施すと

$$-2 \cos \frac{i\pi}{2n} R_i[U_{r-1}(x)] \text{sind} + \left[-\cos \frac{i\pi}{2n} \{ \theta_0(x) - (-1)^i \theta_n(x) \} + 2 \sin \frac{i\pi}{2n} S_i[\theta_r(x)] \right] a \text{sind} \\ + \left[-\cos \frac{i\pi}{2n} \{ V_0(x) - (-1)^i V_n(x) \} + 2 \sin \frac{i\pi}{2n} S_i[V_{r-1}(x)] \right] \text{cosd} = 0 \quad (20)$$

(14) は Cosine 定和分変換を施すと

$$\text{cosd} \left\{ (-1)^i P_{n-\frac{1}{2}} - P_{\frac{1}{2}} + 2 \sin \frac{i\pi}{2n} \bar{S}_i[P_{r+\frac{1}{2}}] \right\} + \text{sind} \left\{ -(-1)^i T_{n-\frac{1}{2}} - T_{\frac{1}{2}} + 2 \cos \frac{i\pi}{2n} \bar{C}_i[T_{r+\frac{1}{2}}] \right\} \\ = EI \cdot C_i[U_r(x)] + \bar{K} C_i[U_r(x)] \quad (21)$$

(15) は Sine 定和分変換を施すと

$$-\text{sind} \cdot 2 \cos \frac{i\pi}{2n} \bar{S}_i[P_{r+\frac{1}{2}}] + \text{cosd} \cdot 2 \sin \frac{i\pi}{2n} C_i[T_{r+\frac{1}{2}}] = EI \cdot S_i[V_r(x)] + \bar{K} S_i[V_r(x)] \quad (22)$$

(16) も同様に Sine 定和分変換を施すと

$$\text{cosd} \cdot 2 \cos \frac{i\pi}{2n} \bar{S}_i[P_{r+\frac{1}{2}}] + \text{sind} \cdot 2 \sin \frac{i\pi}{2n} \bar{C}_i[T_{r+\frac{1}{2}}] = \frac{GJ}{a} S_i[\ddot{\theta}_r(x)] \quad (23)$$

ここで

$$S_i[f_r] = \sum_{r=1}^{n-1} f_r \cdot \sin \frac{i\pi}{n} r \quad \rightarrow \quad \begin{aligned} f_r &= \frac{2}{n} \sum_{i=1}^{n-1} S_i[f_r] \sin \frac{i\pi}{n} r \\ C_i[f_r] &= \sum_{r=1}^{n-1} f_r \cos \frac{i\pi}{n} r \quad \rightarrow \quad f_r = \frac{2}{n} \sum_{i=0}^n R_i[f_r] \cos \frac{i\pi}{n} r \\ &\quad R_i[f_r] = C_i[f_r] + \frac{(-1)^i}{2} f_n + \frac{1}{2} f_0. \end{aligned}$$

$$\bar{S}_i[f_{r+\frac{1}{2}}] = \sum_{r=0}^{n-1} f_{r+\frac{1}{2}} \cdot \sin \frac{i\pi}{n} (r+\frac{1}{2}) \quad \rightarrow \quad f_{r+\frac{1}{2}} = \frac{2}{n} \sum_{i=1}^{n-1} \bar{S}_i[f_{r+\frac{1}{2}}] \sin \frac{i\pi}{n} (r+\frac{1}{2}) + \frac{(-1)^r}{n} \bar{S}_n[f_{r+\frac{1}{2}}] \\ \bar{C}_i[f_{r+\frac{1}{2}}] = \sum_{r=0}^{n-1} f_{r+\frac{1}{2}} \cos \frac{i\pi}{n} (r+\frac{1}{2}) \quad \rightarrow \quad f_{r+\frac{1}{2}} = \frac{2}{n} \sum_{i=0}^n \bar{C}_i[f_{r+\frac{1}{2}}] \cos \frac{i\pi}{n} (r+\frac{1}{2}) + \frac{1}{n} \bar{C}_0[f_{r+\frac{1}{2}}]$$

今、対称变形構造を考えると、 $P_{n-\frac{1}{2}}$ と $P_{\frac{1}{2}}$ 、 $T_{n-\frac{1}{2}}$ と $T_{\frac{1}{2}}$ は均合の間に、Cosine-定和分変換における境界値は消去でき、力の均合の式 (21) (22) (23) は整理することができます。

よって (21) と (22) より

$$\bar{C}_i[T_{r+\frac{1}{2}}] = \{ S \cdot G \cdot E I R_i[U_r(x)] + S \cdot G \cdot \bar{K} \cdot R_i[U_r(x)] + C \cdot S_i \cdot E I \cdot S_i[V_r(x)] + C \cdot S_i \cdot \bar{K} \cdot S_i[V_r(x)] \} / 2DD_i \quad (24)$$

$$\bar{S}_i[P_{r+\frac{1}{2}}] = \{ C \cdot S_i \cdot E I \cdot R_i[U_r(x)] + C \cdot S_i \cdot \bar{K} \cdot R_i[U_r(x)] + S \cdot G \cdot E I S_i[V_r(x)] + S \cdot G \cdot \bar{K} \cdot S_i[V_r(x)] \} / 2DD_i \quad (25)$$

(24) (25) を (23) に代入すると

$$\{(2C^2CS_i + 2S^2CS_i) EI R_i[\ddot{U}_r(x)] + (2CCSi + 2S^2CSI) R_i[U_r(x)] + (2SCC^2 + 2SCS^2) EI S_i[V_r(x)] \\ + (2SCC^2 + 2SCS^2) R_i[S_i[V_r(x)]]\} / DD_i = \frac{GJ}{\alpha} S_i[\ddot{\theta}_r(x)] \quad (26)$$

$$\therefore \begin{aligned} S &= \sin \alpha & S_i &= \sin \frac{i\pi}{2n} & DD_i &= \sin \alpha \cos \frac{i\pi}{2n} - \cos \alpha \sin \frac{i\pi}{2n} \\ C &= \cos \alpha & C_i &= \cos \frac{i\pi}{2n} \end{aligned}$$

よって節点ごとの right, left の変位が等しい、つまり joint 係数 $k_N, k_T \rightarrow \infty$ とし (19)(20) の2本の式より

$$S_i[\theta_r(x)] = \frac{C_i^2 S^2 - S_i^2 C^2}{\alpha S_i C_i} R_i[U_r(x)], \quad S_i[V_r(x)] = \frac{S_i - C_i}{SC} R_i[U_r(x)] \quad (27)$$

よって (27) (28) を (26) に代入し、整理すると

$$\frac{-1}{DD_i} \left\{ 2(S_i^2 C_i^2 + S^2 C^2) R_i[EI \ddot{U}_r(x) + R_i U_r(x)] \right\} - \frac{GJ}{\alpha^2} DD_i R_i[\ddot{U}_r(x)] = 0 \quad (28)$$

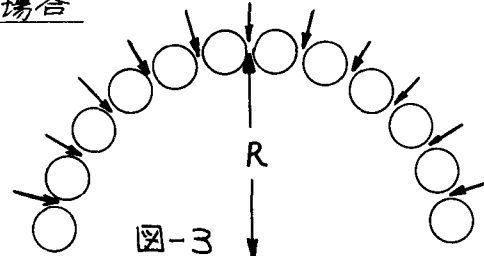
3-2. 図-3 の様に、一様な外圧が作用する場合

$$\text{この場合は}, U_{r+}(x) = U_r(x) = U_{r-}(x) \quad (30)$$

$$\theta_r(x) = V_r(x) = 0 \quad (31)$$

であるから 基本式 (14) より

$$EI \ddot{U}_r(x) + (R + 4k_T \sin \alpha) U_r(x) = N_r \quad (32)$$



ただし

今、 $N_r = N = \beta_0 + \frac{\beta_1 - \beta_0}{l} x$ として (32) を 軸方向に有限 Fourier-Sine 変換を施し、整理すると、

$$\ddot{U}_r(x) = \left(\frac{l}{\pi} \right)^2 \frac{1}{EI} \left\{ \frac{1}{m} \beta_0 - \frac{(-1)^m}{m} \beta_1 \right\} \frac{1}{m^2 + \left(\frac{\beta_1}{\pi} \right)^2} - \left(\frac{l}{\pi} \right) \frac{m^3}{m^2 + \left(\frac{\beta_1}{\pi} \right)^2} \left\{ U_r(l) (-1)^m - U_r(0) \right\} \\ + \left(\frac{l}{\pi} \right)^3 \frac{m}{m^2 + \left(\frac{\beta_1}{\pi} \right)^2} \left\{ \ddot{U}_r(l) (-1)^m - \ddot{U}_r(0) \right\} \quad (33)$$

ここで $\beta^4 = \frac{R + 4k_T \sin \alpha}{EI}$ $\ddot{U}_r(x) = \int_0^l U_r(x) \cdot \sin \frac{m\pi}{l} x dx$ である。 $\lambda^4 = \left(\frac{\beta_1}{\pi} \right)^4$ とおいて逆変換を施すと、次の如く表わされる。

$$U_r(x) = \frac{2}{l} \sum_{m=1}^{\infty} \dot{U}_r(x) \cdot \sin m\pi \frac{x}{l} = \left(\frac{l}{\pi \lambda} \right)^4 \frac{1}{EI} \left[\beta_0 \left\{ (1-\bar{z}) - Q(\bar{z}) \right\} - \beta_1 \left\{ Q(1-\bar{z}) - \bar{z} \right\} \right] \\ + \left\{ Q(1-\bar{z}) \cdot U_r(l) + Q(\bar{z}) \cdot U_r(0) \right\} - \left(\frac{l}{\pi \lambda} \right)^2 \left\{ P(1-\bar{z}) \cdot \ddot{U}_r(l) + P(\bar{z}) \cdot \ddot{U}_r(0) \right\} \quad (34)$$

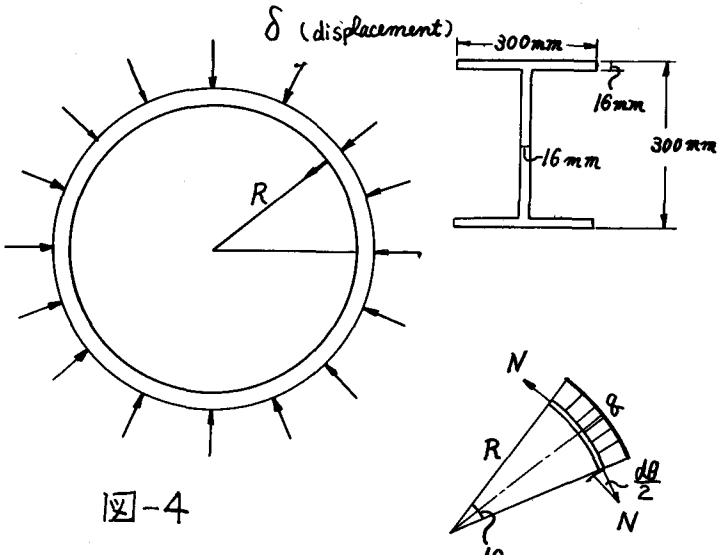
$$\bar{z} = \frac{x}{l}, \quad C = \cosh \sqrt{2\pi \lambda} - \cos \sqrt{2\pi \lambda}$$

$$Q(\bar{z}) = \frac{1}{C} \left\{ \cosh \frac{\pi \lambda}{\sqrt{2}} (2-\bar{z}) \cdot \cos \frac{\pi \lambda}{\sqrt{2}} \bar{z} - \cos \frac{\pi \lambda}{\sqrt{2}} (2-\bar{z}) \cdot \cosh \frac{\pi \lambda}{\sqrt{2}} \bar{z} \right\}$$

$$P(\bar{z}) = \frac{1}{C} \left\{ \sinh \frac{\pi \lambda}{\sqrt{2}} (2-\bar{z}) \cdot \sin \frac{\pi \lambda}{\sqrt{2}} \bar{z} - \sin \frac{\pi \lambda}{\sqrt{2}} (2-\bar{z}) \cdot \sinh \frac{\pi \lambda}{\sqrt{2}} \bar{z} \right\}$$

4. 数値計算例.

今、図4.8に示す如くのリゾビーム
4本で補強された基礎構造を考えると
(34)と、各々のリゾビームの
変位、たみ角、モーメント、剪断力の
連続条件と境界条件より、9元の
連立方程式を解くことに帰着する。
尚、リゾビームの反力係数は図4
より次の如く示される。



この計算例による断面寸法は
図8の如くである。連立方程式
は(35)に示す如くである。

a_{11}	a_{12}	a_{13}	0						u_A	\ddot{u}_A	\dot{u}_A	
a_{21}	0	0	a_{24}						u_B	\ddot{u}_B	\dot{u}_B	
a_{31}	a_{32}	0	a_{34}						u_C	\ddot{u}_C	\dot{u}_C	
a_{42}	a_{43}	0	0	a_{46}	a_{47}	a_{48}	a_{49}	u_D	\ddot{u}_D	\dot{u}_D	\ddot{u}_1	
a_{52}	a_{53}	a_{54}	0	a_{56}	a_{57}	a_{58}	a_{59}	u_E	\ddot{u}_E	\dot{u}_E	\ddot{u}_2	
			a_{64}	a_{65}	a_{66}	a_{67}	a_{68}	u_F	\ddot{u}_F	\dot{u}_F	\ddot{u}_3	
0			a_{74}	a_{75}	a_{76}	a_{77}	a_{78}	a_{79}	u_G	\ddot{u}_G	\dot{u}_G	\ddot{u}_4
					a_{86}	a_{87}	a_{88}	a_{89}	u_H	\ddot{u}_H	\dot{u}_H	\ddot{u}_5
					a_{96}	a_{97}	a_{98}	a_{99}	u_I	\ddot{u}_I	\dot{u}_I	\ddot{u}_6

(35)

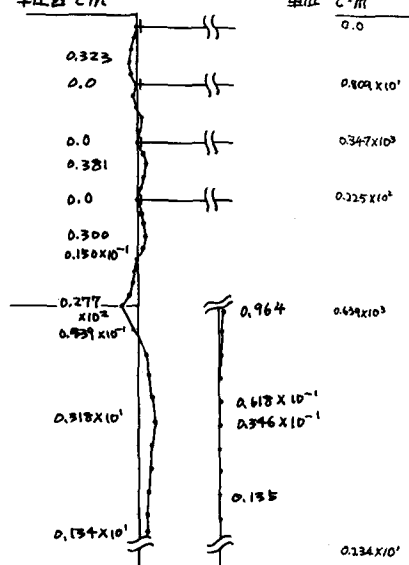
$$\begin{aligned}
 a_{11} &= \ddot{Q}_A^{(0)} - \frac{k_R}{EI} & a_{12} &= \ddot{Q}_A^{(1)} & a_{13} &= -\left(\frac{QR}{EI}\right)^2 \ddot{P}_A^{(1)} & a_{42} &= -\ddot{Q}_A^{(1)} & a_{52} &= -\ddot{Q}_A^{(1)} & a_{57} &= -\left(\frac{QR}{EI}\right)^2 \ddot{P}_A^{(1)} \\
 a_{21} &= -\ddot{Q}_A^{(1)} & a_{24} &= \ddot{Q}_A^{(1)} & a_{32} &= \frac{k_R}{EI} & a_{34} &= \left(\frac{QR}{EI}\right)^2 \ddot{P}_A^{(1)} & a_{53} &= \left(\frac{QR}{EI}\right)^2 \ddot{P}_A^{(1)} \\
 a_{31} &= -\ddot{Q}_A^{(1)} & a_{25} &= -\left(\frac{QR}{EI}\right)^2 \ddot{P}_A^{(1)} & a_{34} &= \ddot{Q}_A^{(1)} & a_{46} &= \ddot{Q}_A^{(1)} & a_{54} &= \frac{k_R}{EI} \\
 a_{42} &= -\ddot{Q}_A^{(1)} & a_{74} &= -\ddot{Q}_B^{(1)} & a_{35} &= -\left(\frac{QR}{EI}\right)^2 \ddot{P}_A^{(1)} & a_{47} &= -\left(\frac{QR}{EI}\right)^2 \ddot{P}_A^{(1)} & a_{56} &= \ddot{Q}_A^{(1)} \\
 a_{64} &= -\ddot{Q}_A^{(1)} & a_{74} &= -\ddot{Q}_A^{(1)} & a_{86} &= -\ddot{Q}_B^{(1)} & a_{42} &= -\ddot{Q}_A^{(1)} & a_{52} &= -\left(\frac{QR}{EI}\right)^2 \ddot{P}_A^{(1)} \\
 a_{65} &= \left(\frac{QR}{EI}\right)^2 \ddot{P}_A^{(1)} & a_{75} &= \left(\frac{QR}{EI}\right)^2 \ddot{P}_A^{(1)} & a_{87} &= \left(\frac{bR}{EI}\right)^2 \ddot{P}_B^{(1)} & a_{43} &= \left(\frac{QR}{EI}\right)^2 \ddot{P}_A^{(1)} & a_{53} &= \left(\frac{bR}{EI}\right)^2 \ddot{P}_B^{(1)} \\
 a_{66} &= \ddot{Q}_B^{(0)} - \ddot{Q}_A^{(0)} & a_{76} &= \ddot{Q}_B^{(0)} - \ddot{Q}_A^{(0)} & a_{88} &= \ddot{Q}_B^{(0)} - \ddot{Q}_C^{(0)} & a_{46} &= \ddot{Q}_A^{(1)} & a_{54} &= \frac{k_R}{EI} \\
 a_{67} &= \left(\frac{QR}{EI}\right)^2 \ddot{P}_A^{(0)} & + \frac{k_R}{EI} & a_{77} &= \left(\frac{QR}{EI}\right)^2 \ddot{P}_B^{(0)} & a_{89} &= \left(\frac{bR}{EI}\right)^2 \ddot{P}_B^{(0)} & a_{47} &= -\ddot{Q}_A^{(1)} \\
 & - \left(\frac{bR}{EI}\right)^2 \ddot{P}_B^{(0)} & a_{77} &= \left(\frac{QR}{EI}\right)^2 \ddot{P}_B^{(0)} & - \left(\frac{bR}{EI}\right)^2 \ddot{P}_C^{(0)} & - \left(\frac{bR}{EI}\right)^2 \ddot{P}_C^{(0)} & a_{48} &= \ddot{Q}_B^{(1)} & a_{56} &= \ddot{Q}_A^{(1)} \\
 a_{68} &= \ddot{Q}_B^{(1)} & - \frac{bR}{EI} \ddot{P}_B^{(0)} & a_{96} &= -\ddot{Q}_B^{(1)} & a_{86} &= \left(\frac{QR}{EI}\right)^2 \ddot{P}_B^{(1)} & a_{49} &= -\ddot{Q}_A^{(1)} & a_{52} &= -\left(\frac{QR}{EI}\right)^2 \ddot{P}_A^{(1)} \\
 a_{69} &= -\left(\frac{bR}{EI}\right)^2 \ddot{P}_B^{(1)} & a_{78} &= \ddot{Q}_B^{(1)} & a_{97} &= \left(\frac{bR}{EI}\right)^2 \ddot{P}_B^{(1)} & a_{43} &= \left(\frac{bR}{EI}\right)^2 \ddot{P}_B^{(1)} & a_{53} &= \left(\frac{bR}{EI}\right)^2 \ddot{P}_B^{(1)} \\
 a_{99} &= \left(\frac{bR}{EI}\right)^2 \ddot{P}_B^{(0)} & a_{79} &= -\left(\frac{bR}{EI}\right)^2 \ddot{P}_B^{(0)} & a_{98} &= \ddot{Q}_B^{(0)} - \ddot{Q}_C^{(0)} & a_{46} &= \ddot{Q}_A^{(1)} & a_{54} &= \frac{k_R}{EI} \\
 & - \left(\frac{bR}{EI}\right)^2 \ddot{P}_C^{(0)} & & & & & - \left(\frac{bR}{EI}\right)^2 \ddot{P}_C^{(0)} & & & \\
 \end{aligned}$$

$$\begin{aligned}
 a_{86} &= -\ddot{Q}_B^{(1)} & a_{96} &= -\ddot{Q}_B^{(1)} & a_{87} &= \left(\frac{bR}{EI}\right)^2 \ddot{P}_B^{(1)} & a_{97} &= \left(\frac{bR}{EI}\right)^2 \ddot{P}_B^{(1)} & a_{88} &= \left(\frac{bR}{EI}\right)^2 \ddot{P}_C^{(1)} & a_{98} &= \ddot{Q}_B^{(0)} - \ddot{Q}_C^{(0)} \\
 a_{87} &= \left(\frac{bR}{EI}\right)^2 \ddot{P}_B^{(1)} & a_{97} &= \left(\frac{bR}{EI}\right)^2 \ddot{P}_B^{(1)} & a_{89} &= \left(\frac{bR}{EI}\right)^2 \ddot{P}_C^{(1)} & a_{99} &= \left(\frac{bR}{EI}\right)^2 \ddot{P}_C^{(1)} & a_{86} &= \left(\frac{bR}{EI}\right)^2 \ddot{P}_B^{(1)} & a_{96} &= -\ddot{Q}_B^{(1)} \\
 a_{88} &= \ddot{Q}_B^{(0)} - \ddot{Q}_C^{(0)} & a_{98} &= \ddot{Q}_B^{(0)} - \ddot{Q}_C^{(0)} & a_{89} &= \left(\frac{bR}{EI}\right)^2 \ddot{P}_C^{(1)} & a_{99} &= \left(\frac{bR}{EI}\right)^2 \ddot{P}_C^{(1)} & a_{86} &= \left(\frac{bR}{EI}\right)^2 \ddot{P}_B^{(1)} & a_{96} &= -\ddot{Q}_B^{(1)} \\
 a_{96} &= -\ddot{Q}_B^{(1)} & a_{97} &= \left(\frac{bR}{EI}\right)^2 \ddot{P}_B^{(1)} & a_{98} &= \ddot{Q}_B^{(0)} - \ddot{Q}_C^{(0)} & a_{99} &= \left(\frac{bR}{EI}\right)^2 \ddot{P}_C^{(1)} & a_{86} &= \left(\frac{bR}{EI}\right)^2 \ddot{P}_B^{(1)} & a_{96} &= -\ddot{Q}_B^{(1)} \\
 a_{97} &= \left(\frac{bR}{EI}\right)^2 \ddot{P}_B^{(1)} & a_{98} &= \ddot{Q}_B^{(0)} - \ddot{Q}_C^{(0)} & a_{99} &= \left(\frac{bR}{EI}\right)^2 \ddot{P}_C^{(1)} & a_{86} &= \left(\frac{bR}{EI}\right)^2 \ddot{P}_B^{(1)} & a_{96} &= -\ddot{Q}_B^{(1)} & a_{87} &= \left(\frac{bR}{EI}\right)^2 \ddot{P}_B^{(1)} \\
 a_{98} &= \ddot{Q}_B^{(0)} - \ddot{Q}_C^{(0)} & a_{99} &= \left(\frac{bR}{EI}\right)^2 \ddot{P}_C^{(1)} & a_{86} &= \left(\frac{bR}{EI}\right)^2 \ddot{P}_B^{(1)} & a_{96} &= -\ddot{Q}_B^{(1)} & a_{87} &= \left(\frac{bR}{EI}\right)^2 \ddot{P}_B^{(1)} & a_{98} &= \ddot{Q}_B^{(0)} - \ddot{Q}_C^{(0)} \\
 a_{99} &= \left(\frac{bR}{EI}\right)^2 \ddot{P}_C^{(1)} & & & & & & & & & &
 \end{aligned}$$

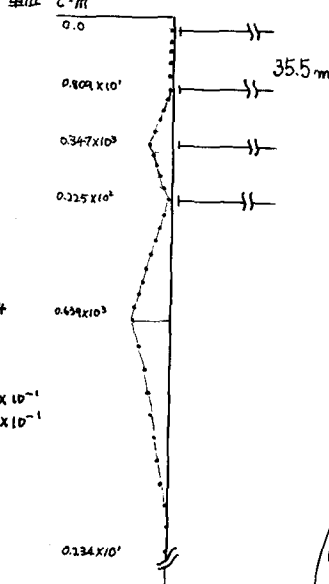
$$\begin{aligned}\delta_T &= \left(\frac{\partial R}{\partial \lambda} \right) \frac{1}{EI} [(2\delta_D - \delta_E) \ddot{Q}_A(0) - \delta_C \ddot{Q}_A(1)] \\ &\quad + \left(\frac{\partial R}{\partial \lambda} \right) \frac{1}{EI} [-(2\delta_D - \delta_E) \ddot{Q}_B(0) + \delta_D \ddot{Q}_B(1)] \\ \delta_E &= \left(\frac{\partial R}{\partial \lambda} \right) \frac{1}{EI} [(2\delta_D - \delta_E) \left(\ddot{Q}_B(0) - \frac{1}{BR} \right) + \delta_D \left[\frac{1}{BR} - \ddot{Q}_B(1) \right]] \\ \delta_B &= \left(\frac{\partial R}{\partial \lambda} \right) \frac{1}{EI} [(2\delta_D - \delta_E) \ddot{Q}_B(0) - \delta_D \ddot{Q}_B(1)]\end{aligned}$$

図5に $K_T = 200 \text{ kg/cm}^2$ の場合の変位図、図6に $K_T = 20 \text{ kg/cm}^2$ の場合のモーメント図を示す。又図7は新潟別大橋の実験値と本解析の計算値比較を示した。

単位 図 cm 図-5



単位 t-m 図-6



	実験値	計算値	K_T
M_A	1.9 t-m	1.64 t-m	20 kg/cm^2
M_B	1.58 t-m	21.01 t-m	30 kg/cm^2
M_C	16.2 t-m	22.5 t-m	20 kg/cm^2
M_{max}	-35.9 t-m	-43.51 t-m	250 kg/cm^2
			300 kg/cm^2

図-7

以上より、joint係数 K_T が大きいほど変位は小さくなる傾向を示し、実験例との最大値は 1割近い値を示すが発生位置のずれを生じる。これは、三脚土圧と差えて解析で適用する実および実際施工時のリングヒンジのヒンジ結合状態、又はパイル軸方向のヒンジ状態の理論誤りの相違が原因と考えられる。他の計算結果は、当該発表する予定である。

尚、数値計算は、北海道大学大型計算機FACOM 230/75及び東京大学計算センターの HITAC 8800/8700 を使用した。

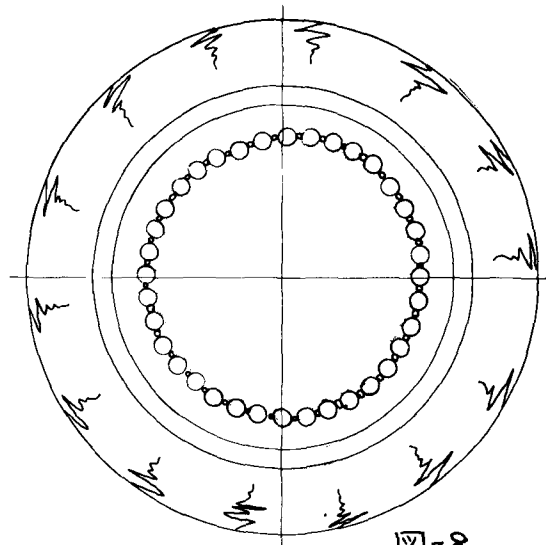
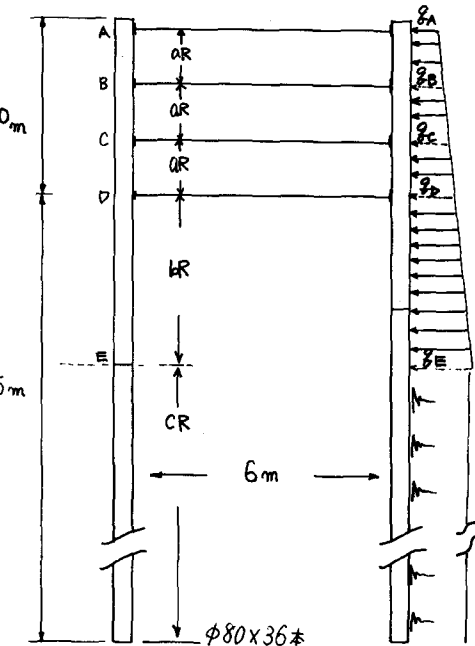


図-8

*参考文献

- S.G.Nomachi and K.G.Matsuoka : Some Formulas Derived from Finite Integration
(The Transcript from the Memories of the Muroran Institute of Technology Vol. No.3)
- 能町・澤田：鋼管杭によるセリ型基礎筏の応力解析について（第12回道路会議一般論文集）
- 能町・澤田：鋼管杭による井筒基礎筏の弹性挙動について（第3回国際都市構造講習会講義集 I-24）